

- и численные методы в теории переноса.— Минск: Ин-т тепло- и массопереноса АН БССР, 1982.
6. Демидов М. А., Клоков Ю. А., Михайлов А. П. Безударное сжатие конечной массы газа плоским поршнем при произвольном распределении энтропии.— М., 1984.— (Препринт/Ин-т прикл. математики АН СССР; № 151).
  7. Демидов М. А., Клоков Ю. А., Михайлов А. П. Структуры при безударном сферическом сжатии газа с произвольным распределением энтропии.— М., 1985.— (Препринт/Ин-т прикл. математики АН СССР; № 73).
  8. Демидов М. А., Михайлов А. П. Точное решение, описывающее сложные газодинамические структуры // ИФЖ.— 1986.— Т. 51, № 6.
  9. Демидов М. А., Михайлов А. П., Степанова В. В. Локализация и структуры при сжатии газа в режиме с обострением // ДАН СССР.— 1985.— Т. 281, № 1.
  10. Демидов М. А., Михайлов А. П. Эффекты локализации и образования структур при адиабатическом сжатии конечной массы газа в режиме с обострением // ПММ.— 1986.— Т. 50, вып. 1.
  11. Демидов М. А. О построении решений, описывающих эффект локализации в некоторых сжимаемых средах.— М., 1986.— (Препринт/Ин-т прикл. математики АН СССР; № 1).
  12. Михайлов А. П., Степанова В. В. Локализация газодинамических процессов и структуры при сжатии газа в режиме с обострением // ПММ.— 1984.— Т. 48, вып. 6.
  13. Михайлов А. П., Степанова В. В. Об одной автомодельной задаче газовой динамики.— М., 1985.— (Препринт/Ин-т прикл. математики АН СССР; № 162).
  14. Демидов М. А. Течения газа с однородной плотностью по пространству.— М., 1985.— (Препринт/Ин-т прикл. математики АН СССР; № 126).
  15. Демидов М. А., Михайлов А. П. Многомерные течения с однородной плотностью и эффект локализации.— М., 1986.— (Препринт/Ин-т прикл. математики АН СССР; № 53).

Поступила 27/III 1987 г.

УДК 533.17

## ЭКСПЕРИМЕНТАЛЬНОЕ ИССЛЕДОВАНИЕ СВЕРХЗВУКОВЫХ ПРОСТРАНСТВЕННЫХ СТРУЙ

Г. М. Жинжиков, Н. О. Навлова

(Ленинград)

Интерес к сверхзвуковым пространственным (трехмерным) струйным течениям, т. е. струям, трехмерный характер течения в которых обусловлен формой выходного сечения сопла [1], объясняется их возрастающим прикладным значением, например использованием таких сопел в современных сверхзвуковых самолетах [2], в газоперерабатывающей промышленности [3] и т. д.

Экспериментальных работ по пространственным струйным течениям сравнительно мало; из имеющихся можно отметить [4—6], из которых последняя наиболее полная по объему проведенных исследований.

В данной работе проведено экспериментальное изучение ударно-волновой структуры и распределения параметров в сверхзвуковых недорасширенных струях холодного воздуха ( $T_0 \sim 290$  К), истекающих в атмосферу ( $p_\infty \sim 0,1$  МПа) из звуковых прямоугольных сопел. При этом использовались шлирен-визуализация течения и измерения полных напоров на оси струи. Получены эмпирические зависимости для определения положения центрального скачка в пространственных струях и распределения чисел Маха на оси. Результаты сравниваются с данными [6].

В экспериментах применялись звуковые сопла с прямоугольной формой среза сопла и отношением сторон прямоугольника  $\lambda$ , равным 1, 2, 3, 5 и 10. Это отношение называется ниже удлинением среза сопла. Размер меньшей стороны 6—12 мм. Конструктивно сопла выполнены в форме прямоугольного отверстия в торце цилиндрического стакана с внутренним диаметром 80 мм и имеют профилированный дозвуковой и выравнивающий плоскопараллельный участки длиной  $\sim 4$  мм. Давление торможения  $p_0$  регистрировалось образцовыми манометрами, атмосферное — барометром, степень нерасчетности  $n$  определялась по формуле  $n = p_0/p_\infty((\gamma + 1)/2)^{-\gamma/(\gamma-1)}$  при  $\gamma = 1,4$  с результирующей точностью не хуже 3%. Визуализация ударно-волновой структуры осуществлялась оптическим прибором ИАБ-451 в двух взаимно перпендикулярных плоскостях, параллельных сторонам среза сопла, с регистрацией на фотопленку и определен-

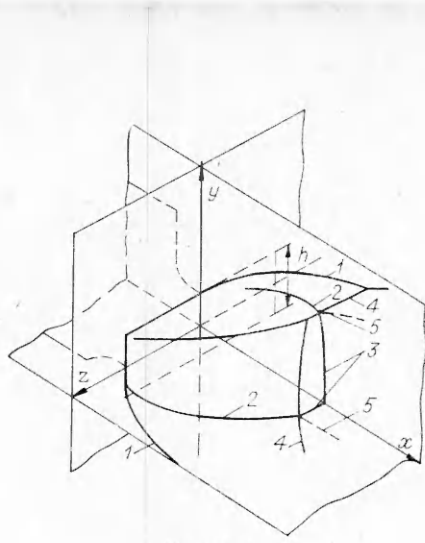


Рис. 1

нием линейных размеров на измерительном микроскопе ММИ-2 с погрешностью, как правило, не более 3%. Полные напоры измерялись цилиндрическим зондом с наружным диаметром 2 мм. Вылет зонда из державки, имеющей форму клина с углом при вершине  $30^\circ$ , составлял 25 мм. Из-за вибрации стрелки манометра в процессе измерения фактическая точность измерений полного напора была на уровне 3—5%.

Схема течения в пространственной струе с основными обозначениями и терминологией, заимствованными из [4, 5], представлена на рис. 1, где 1 — граница струи, 2 — висячий, центральный и отраженный скачки, 5 — тангенциальный разрыв.

Эволюция ударно-волновой структуры при увеличении степени нерасчетности показана с некоторыми упрощениями на рис. 2 (обозначения те же, что и на рис. 1). В основной плоскости формирование волновой структуры начинается, как отмечено в [5], с образования выпуклого в сторону сопла центрального скачка (рис. 2, а), с увеличением степени нерасчетности такая форма скачка сменяется X-образной (б), а затем нерегулярным взаимодействием висячих скачков (в), при этом кривизна центрального скачка приобретает все большую выпуклость в направлении от сопла (г), а его размер монотонно увеличивается. В продольной плоскости висячий скачок при всех значениях  $n$  формируется практически на срезе сопла. Размер центрального скачка в этой плоскости при малых значениях  $\lambda$  ( $< 4$ ) также монотонно увеличивается с ростом  $n$ , при больших  $\lambda$  он сначала уменьшается, а затем увеличивается. Различный характер изменения размера центрального скачка в основной и продольной плоскостях при изменении степени нерасчетности приводит к переориентации максимального поперечного размера волновой структуры при увеличении значения  $n$ . Аналогичный результат отмечен в расчетно-теоретической работе [1] относительно максимального размера границы струи, истекающей из сопла с эллиптической формой среза.

Диапазон (по  $\lambda$  и  $n$ ) проведенных исследований и анализ их результатов показывает, что с качественной стороны представленными на рис. 2 конфигурациями исчерпывается многообразие пространственных волновых структур сверхзвуковых струй, истекающих из прямоугольных сопел.

Наиболее распространенный масштабный параметр ударно-волновой структуры — расстояние от среза сопла до центрального скачка. Экспериментальные значения расстояний до центрального скачка уплотнения  $x_s^0 = x_s/h$  представлены на рис. 3 светлыми значками, темные значки — результаты [6]. Сплошные линии 1 и 2 — эмпирические зависимости соответственно для расстояний до диска Маха  $x_M^0$  в осесимметричных струях [7] ( $x_M^0 = 0,69M_a \sqrt{\gamma n}$ ) и волны Римана  $x_R^0$  в плоских [8] ( $x_R^0 = M_a n$ ) при отвечающих экспериментам значениях параметров ( $M_a = 1$ ,  $\gamma = 1,4$ ).

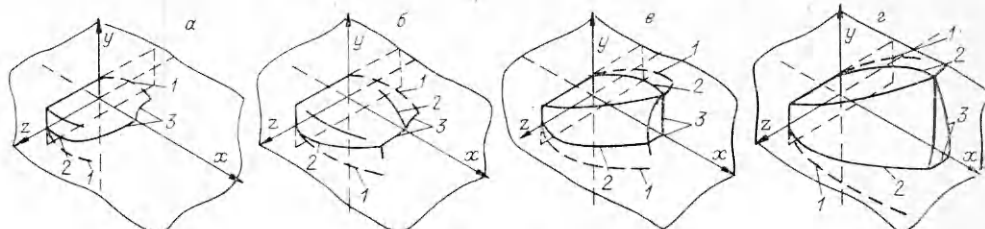
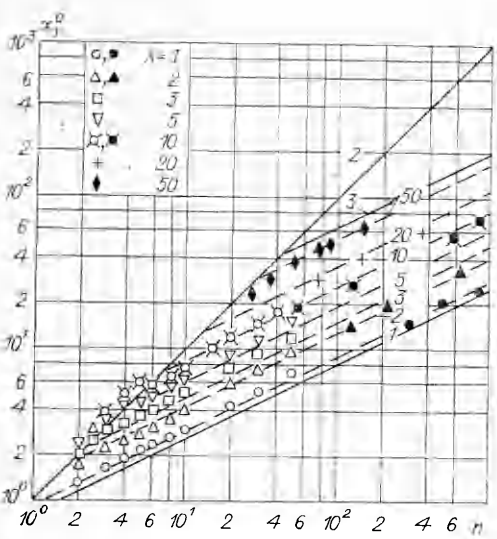


Рис. 2



Р и с. 3



Р и с. 4

Из рис. 3 следует, что при малых степенях нерасчетности  $n$  для каждого  $\lambda$  расстояние до центрального скачка не зависит от  $\lambda$  и равно в первом приближении расстоянию до волны Римана. При больших  $n$  (больших некоторого характерного для каждого  $\lambda$  значения  $n_*$ ) экспериментальные значения  $x_s^0$  расслаиваются по параметру  $\lambda$ . Для построения эмпирической зависимости для  $x_s^0$  в этой области значений  $n$  ( $n > n_*$ ) были использованы результаты выполненного в [9] анализа параметров подобия сильно недорасширенных струй ( $n \gg 1$ ), из которого вытекает, что при  $n \gg 1$  выполняется подобие течений с одинаковыми на срезе сопла интегральными характеристиками газа, но с разной структурой полей. Поэтому можно ожидать, что если в качестве характерного размера среза сопла произвольной формы использовать диаметр эквивалентного по площади круга  $d = \sqrt{4\lambda/\pi}h$ , то с увеличением  $n$  параметр  $x_s^0 = x_s/d$  будет асимптотически стремиться к значениям, соответствующим осесимметричному случаю. Зависимость для  $x_s^0$  при этом имеет вид  $x_s^0 = x_s/h = (4/\pi)^{0.5}\lambda^{0.5}x_M^0$  ( $x_M^0 = x_M/d$ ). При малых  $\lambda$  ( $\ll 5$ ) она хорошо описывает распределение экспериментальных значений  $x_s^0$  не только при  $n \gg 1$ , но и во всем диапазоне  $n > n_*$ , если для  $x_M^0$  использовать зависимость Льюиса — Карлсона [7]. При больших  $\lambda$  ее соответствие экспериментальным результатам ухудшается (например, кривая 3 для  $\lambda = 50$  на рис. 3).

Для аппроксимации экспериментальных результатов в диапазоне  $\lambda = 1-50$  предлагается зависимость

$$(1) \quad x_s^0 = (4/\pi)^{0.5}\lambda^{0.5-\varepsilon(\lambda)}x_M^0, \quad \varepsilon(\lambda) = 0.03 \lg \lambda,$$

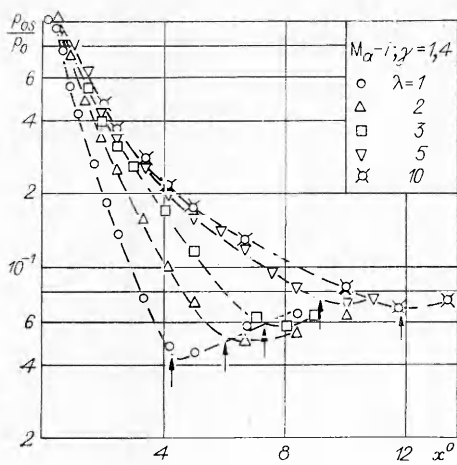
представленная на рис. 3 штриховыми линиями.

Значение степени нерасчетности  $n_*$ , при котором меняется характер зависимости  $x_s^0$  от  $n$ , определяется, очевидно, из равенства  $x_R^0(n_*) = (4/\pi)^{0.5}\lambda^{0.5-\varepsilon(\lambda)}x_M^0(n_*)$ . При  $\gamma = 1.4$ ,  $\lambda = 2-50$  с точностью не хуже 6% это равенство аппроксимируется выражением

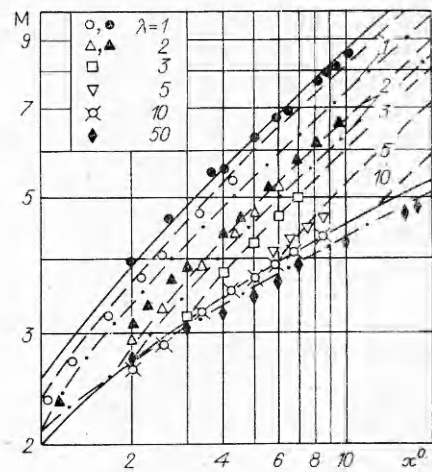
$$(2) \quad n_*(\lambda) = 0.63\lambda + 0.60.$$

Таким образом, при  $n \leq n_*$  расстояние от среза сопла до центрального скачка по оси пространственной струи определяется формулой  $x_s^0 = M_a n$ , при  $n > n_*$  — формулой (1).

Для исследованных в данной работе сопел ( $\lambda \leq 10$ ) при  $n \approx n_*$  регулярное отражение висячего скачка сменяется нерегулярным. Зависи-



Р и с. 5



Р и с. 6

мость  $x_s^0(n)$  в окрестности  $n_*$  имеет на самом деле несколько более сложный характер, например, при  $\lambda = 10$  зафиксирована ее немонотонность ( $x_s^0(5) < x_s^0(4)$ ). На рис. 4 представлены шлирен-фотографии ударно-волновой структуры в основной (а) и продольной (б) плоскостях в момент изменения характера отражения висячего скачка (регулярного (рис. 2, б) на нерегулярный (г)). Этот рисунок иллюстрирует и возникновение немонотонности в изменении параметра  $x_s^0$  от  $n$ .

Область течения в пространственных струях, ограниченная висячим и центральным скачками, является, очевидно, областью изоэнтропического расширения, и универсальная форма представления распределения параметров в ней — распределение чисел Маха. Первичная информация о распределении чисел Маха на оси струй для различных удлинений среза сопла представлена на рис. 5 в виде нормированных распределений измеренных полных напоров  $p_{0s}/p_0$  по оси струи при  $n = 20$ . Стрелками показаны положения центрального скачка при этой степени нерасчетности по результатам визуализации ударно-волновой структуры. Видно, что положение скачка практически совпадает с минимумом на кривой полного давления, но недостаточная плотность экспериментальных данных в окрестности скачка не позволяет дать количественную оценку этой корреляции.

Соответствующие экспериментальным значениям полных напоров распределения чисел Маха представлены на рис. 6 светлыми значками, темными — результаты [6], сплошные линии — осевые распределения чисел Маха в осесимметричной (верхняя — результаты [10]) и плоской (нижняя) струях. Видно (это отмечено и в [6]), что распределение  $M(\lambda, x^0)$  в окрестности среза сопла не зависит от  $\lambda$  и совпадает с распределением в плоской струе, а затем приобретает характер осесимметричного течения, т. е. качественно зависимость  $M(\lambda, x^0)$  аналогична рассмотренной ранее зависимости  $x_s^0(\lambda, x^0)$ . В [6] предложены эмпирические зависимости  $M(\lambda, x^0)$ , учитывающие отмеченный характер в распределении экспериментальных результатов, в виде

$$(3) \quad \frac{T_0}{T} = k(x^0)^{\gamma-1} \quad \text{для } x^0 \leq x_*^0;$$

$$(4) \quad \frac{T_0}{T} = k x^0 \lambda^{-(\gamma-1)} (x^0)^{2(\gamma-1)} \quad \text{для } x_*^0 < x < x_s^0,$$

где  $k = 1,89$ ;  $x_*^0 = \lambda$ ;  $T$  и  $T_0$  — экспериментальные значения статической температуры потока и температуры торможения, а число Маха связано с  $T_0/T$  изоэнтропическим соотношением  $M^2 = 2(\gamma - 1)^{-1} (T_0/T - 1)$ . На рис. 6 эти зависимости показаны штрихпунктирными кривыми.

Следствием предельной простоты аппроксимационных выражений (3) и (4) является их относительно невысокая в целом точность. Например, для  $\lambda = 1$  ошибка в определении  $M$  составляет 15—17%.

В настоящей работе предлагается аппроксимация, имеющая точность не хуже 3% для  $M$  в диапазоне  $1 \leq x^0 \leq 20$ ,  $1 \leq \lambda \leq 10$ ,  $\gamma = 1,4$ ,  $M_a = 1$ :

$$(5) \quad \frac{T_0}{T} = k_1(x^0)(x^0)^{0,4} \quad \text{для } x^0 \leq x_*^0;$$

$$(6) \quad \frac{T_0}{T} = k_2(x^0) \left( \frac{\pi}{4} \right)^{0,4} \lambda^{0,5} (x^0)^{0,8} \quad \text{для } x_*^0 < x^0 < x_s^0.$$

Здесь  $k_1(x^0) = 2,1 - \frac{0,6}{x^0 + 1}$ ;  $k_2(x^0) = 2,66 - \frac{2}{x^0 + 5}$ ;  $x_*^0 = 1,4(\lambda - 0,7)$ .

Коэффициенты  $k_1$  и  $k_2$  подобраны так, чтобы выражения (5), (6) с высокой точностью аппроксимировали результаты численных расчетов в плоском и осесимметричном [10] случаях, представленных на рис. 6 сплошными линиями. Например, точность аппроксимации (6), имеющей в осесимметричном случае вид  $T_0/T = k_2(x^0)(x^0)^{0,8}$ , не хуже 1% для всех  $x^0 \geq 1$ . Известная аппроксимация из [11] имеет такую точность для  $x^0 \geq 3,5$ . Эмпирические формулы (3) и (4) подобного соответствия результатам численных расчетов не обеспечивают. На рис. 6 зависимости (6) показаны штриховыми линиями.

Для сопел с малым удлинением среза ( $\lambda - 1 \ll 1$ ) естественно ожидать, что распределение параметров на оси (за исключением, быть может, ближайшей окрестности среза) будет совпадать с распределением в осесимметричной струе, если в качестве линейного масштаба использовать диаметр эквивалентного круглого сопла  $d$ . Экспериментальные результаты для квадратного сопла подтверждают это предположение. Аппроксимация (6) при  $\lambda = 1$  совпадает с осесимметричным распределением, если положить  $x^0 = x/d$ , и ее соответствие экспериментальным данным во всем исследованном диапазоне значений  $x^0$ , начиная с  $x^0 = 1$ , очень хорошее (точность не хуже 2%, т. е. на уровне точности эксперимента). При  $\lambda = 10$  совпадение экспериментальных данных с результатами численных расчетов в окрестности среза сопла  $x^0 < x_*^0$  также очень хорошее. Высокая точность соответствия экспериментальных данных результатам численных расчетов в двух предельных случаях — осесимметричном и плоском — позволяет утверждать, что различие, достигающее 8%, между нашими экспериментальными результатами и данными [6] объясняется погрешностью последних.

Таким образом, результатом работы являются эмпирические зависимости, определяющие положение центрального скачка или точки регулярного взаимодействия висячих скачков в сверхзвуковых недорасширенных струях, истекающих из звукового сопла с прямоугольной формой среза, и зависимости для определения чисел Маха на оси таких струй в области свободного расширения.

#### ЛИТЕРАТУРА

- Иванов М. Я., Крайко А. Н., Назаров В. П. Некоторые результаты численного исследования нерасчетных пространственных струй идеального газа // Изв. АН СССР. МЖГ.— 1972.— № 4.
- Сопла вертикально взлетающих самолетов и самолетов с короткими взлетом и посадкой (по материалам иностранной печати за 1970—1980 гг.).: Обзор № 608/ ЦАГИ, Отделение научно-технической информации.— М.: ЦАГИ, 1982.
- Назаренко В. Г., Гололобов О. И. Экспериментальное исследование возможности бесскакового торможения сверхзвуковой струи // Использование природного газа в промышленности: Материалы научно-технической конференции молодых исследователей Ин-та газа АН УССР, посвященной 50-летию Ленинского комсомола.— Киев: Наук. думка, 1969.
- Голуб В. В., Набоко И. М., Куликовский А. А. Исследование трехмерной волновой структуры нестационарного истечения газа из плоского звукового сопла//ПМТФ.— 1976.— № 1.

5. Соколов Е. И., Усков В. Н. Экспериментальное исследование трехмерных недорасширенных струй // Гидроаэромеханика и теория упругости.—Днепропетровск: Изд-во Днепропетр. ун-та, 1976.—Вып. 20.
6. Beylich A. E. Strukture von Überschall-Freistralen aus Schlitzblenden // Z. Flugwiss. und Weltraumforsch.—1979.—Bd 3, N. 1.
7. Lewis C. H., Jr., Carlson D. J. Normal shock location in underexpanded and gas-particle jets // AIAA J.—1964.—V. 2, N 4.
8. Прифтмайер. Корреляция параметров свободных струй // РТК.—1972.—T. 10, № 8.
9. Мурзинов И. Н. Параметры подобия при истечении сильно недорасширенных струй в затопленное пространство // Изв. АН СССР. МЖГ.—1971.—№ 4.
10. Жохов В. А., Хомутский А. А. Атлас сверхзвуковых течений свободно расширяющегося идеального газа, истекающего из осесимметричного сопла // Тр. ЦАГИ.—1970.—Вып. 1224.
11. French J. B. Continuum-source molecular beams // AIAA J.—1965.—V. 3, N 6.

Поступила 30/I 1987 г.

УДК 533.608

## ИЗМЕРЕНИЕ ПУЛЬСАЦИЙ ТЕРМОАНЕМОМЕТРОМ ПРИ БОЛЬШИХ ДОЗВУКОВЫХ СКОРОСТЯХ

B. H. Зиновьев, B. A. Лебига

(Новосибирск)

Пульсационные процессы при больших дозвуковых и трансзвуковых скоростях потока играют большую роль при обтекании тел. В аэродинамических установках изучение нестационарных характеристик потока особенно актуально из-за возникновения резонансных явлений, влияния пульсаций потока на развитие пограничного слоя на моделях, на отрыв пограничного слоя [1, 2]. Поэтому актуальны и вопросы разработки методов исследования пульсаций, выбора, либо создания аппаратуры для их измерения.

Термоанемометры успешно используются как при дозвуковых скоростях (преимущественно термоанемометры постоянного сопротивления (ТПС) в силу их высоких эксплуатационных характеристик), так и при сверхзвуковых скоростях, где предпочтение отдается термоанемометрам постоянного тока (ТПТ) в первую очередь из-за независимости частотного диапазона от степени нагрева датчика, что позволяет разделять пульсации давления, температуры, скорости.

Цель данной работы — определение степени применимости ТПС и ТПТ в сжимаемых дозвуковых течениях и особенностей расшифровки термоанемометрических измерений. При этом в основном используется метод диаграмм пульсаций Коважного, основные положения которого содержатся в [3].

Изменение напряжения  $e$  на датчике термоанемометра, находящемся в рабочих условиях, зависит от изменения массового расхода  $m$  и температуры торможения  $T_0$ :

$$(1) \quad de = \frac{\partial e}{\partial m} dm + \frac{\partial e}{\partial T_0} dT_0.$$

Здесь и далее под  $e$ ,  $m$ ,  $T_0$  и т. д. подразумеваются нормированные на средние значения величины. После простейших преобразований линеаризованное уравнение, связывающее мгновенные значения пульсаций  $m'$  и  $T'_0$  с пульсациями электрического напряжения на датчике  $e'$ , можно записать как

$$(2) \quad e' = -Fm' + GT'_0, \quad F = |\partial e / \partial m|, \quad G = |\partial e / \partial T_0|.$$

Способы определения коэффициентов чувствительности к массовому расходу  $F$  и температуре торможения  $G$  достаточно подробно описаны в [3—6].

Уравнение диаграммы пульсаций Коважного следует из (2) после деления его на  $G$ , возвведения в квадрат и осреднения:

$$(3) \quad \begin{aligned} \vartheta^2 &= \langle m \rangle^2 r^2 - 2rR_{mT_0} \langle m \rangle \langle T_0 \rangle + \langle T_0 \rangle^2, \\ \vartheta &= \langle e \rangle / G, \quad r = F/G, \quad R_{mT_0} = \langle mT_0 \rangle / (\langle m \rangle \langle T_0 \rangle) \end{aligned}$$